

TiO₂ 의 유전성에 미치는 Sb₂O₃ 의 영향

윤기현, 김창수*, 강영환**

연세대학교 오입공학과

(1980년 4월 10일 접수)

Effect of Antimony Sesquioxide on the Dielectric Property of Rutile (TiO₂)

Ki-Hyun Yoon, Chang-Soo Kim and Young-Hwan Kang

Yonsei University

(Received April 10, 1980)

ABSTRACT

The effect of the additive on the dielectric property of TiO₂ containing 0~2.5wt. % Sb₂O₃ was investigated as a function of frequency from 5×10^4 to 6.3×10^7 cps and temperature from 25 to 375°C. The dielectric constant increased with increasing Sb₂O₃ concentration from 0.25 to 0.5 wt. %. It is due to space charge polarization caused by increasing anion vacancies. The dielectric constant decreased for further increase in Sb₂O₃ concentration. It can be explained by increasing grain size effect rather than space charge polarization.

I. 서 론

TiO₂ (rutile)는 반도성과 유전성을 동시에 지니고 있어 기초적인 면에서나 응용면에서 이의 연구가 중요시 되어왔다. TiO₂ 대 결정의 유전성에 미치는 주파수와 온도의 영향은 이미 몇몇 연구자^[1-3]들이 보고한바 있으며 특히 Egerton과 Thomson^[4]은 TiO₂에 Fe, Al, Cr 및 Co와 같은 침가제를 넣었을 때 미치는 유전성의 변화를 정성적으로 밝힌 바 있다. TiO₂ (rutile)의 결정에서 산소의 조성이 변화됨에 따라 전기적 성질의 영향을 보기 위하여 유전 상수 및 전기 저항 측정이 시도되고 있다. 즉 환원된 TiO₂는 Ti⁺³ 이온과 산소 공위를 포함하고 있으며 높은 전기 저항과 낮은 유전 손실은 Ti⁺³ 이온의 량의 감소로 인한다고 보고 된 바 있다^[4].

본 실험에서는 TiO₂ 소결시 밀도 감소의 요인이 되는 Sb₂O₃를 소량 침가하므로서 유전성에 미치는 영향을 결정 구조면에서와 결정 성장면에서 정량적으로 분

석하였다.

II. 실험

1. 시편 제조

시편 제조시 사용한 TiO₂ (rutile) 및 Sb₂O₃는 순도 99.9%의 시약을 사용하였으며 그 제조 과정은 다음과 같다. 0.25~2.5wt. %의 Sb₂O₃를 침가한 TiO₂ 분말을 mortar grinder 와 ball mill 속에서 소량의 ethyl alcohol 을 넣은 다음 5~6시간 혼합하였다. 혼합된 시료를 전조한 다음 mortar grinder로 세분쇄하였다. 이 시료를 600 kg/cm²의 압력을 가하여 직경 약 1.4cm, 두께 약 1.5cm의 원추형 시편을 만든 다음 1,250°C에서 90분간 유지한 후 서냉하였다. 특히 TiO₂ 와 TiO₂에 Sb₂O₃를 침가하여 소결한 후의 X-선 분석 결과는 동일하였으며 시편의 밀도는 Sb₂O₃의 침가량이 증가함에 따라 감소하는 경향을 보여주었다.

2. 전극 부착

소성한 시편을 연마한 다음 양면에 silver paste 를 바른 후 400°C에서 25분간 가열하여 paste에 있는 유기물을 제거하고 700°C에서 10분간 가열한 후 서냉하였

* 금성반도체(주)

** 혜연로 개발공단

다. 이렇게 만든 시편은 유전성을 측정하기 위한 시편으로 사용하기 위하여 건조기에 보관하면서 측정시에 꺼내 사용하였다.

3. 유전 상수 및 유전 실수 측정

시편의 양면에 불은 silver paste에 동선을 부착하여 상온에서 주파수 변화에 따른 유전 상수와 유전 실수를 측정하는데 Q-meter (Hewlett-Packard Co. Model-4342A)를 사용하였다. 한편 온도 변화에 따른 유전성 변화의 측정은 주파수를 50KHz로 고정한 다음 시편의 온도를 25°C 간격으로 상온에서부터 375°C까지 가열하면서 측정하였다.

4. 시편의 미세 구조 측정

시편의 표면을 연마한 다음 전한 H_2SO_4 와 HF를 1:1로 혼합한 etching solution으로 etching 하였다. 증류수로 etching 한 시편 표면을 세척한 다음 건조시켜 시편표면의 미세 구조의 변화를 Optomas Image Analyzer (England Micromeasurement Co.)로 관찰하였다.

III. 결과 및 고찰

TiO_2 에 Sb_2O_3 의 첨가량이 증가함에 따라 그림 1에서 보는 바와 같이 밀도는 감소하였다. 이러한 경향은 Sb_2O_3 가 TiO_2 소결시 negative effect를 나타낸다는 Takahashi 등⁹의 보고⁹와 잘 일치하고 있다. TiO_2 는 산소가 결핍된 산화물이며 고온에서 환원된 TiO_2 는 Ti^{+3} 이온과 산소 공위를 가지게 되며¹⁰, 산소중에서 가열되는 Ti^{+3} 이온이 Ti^{+4} 이온으로의 산화는 산소가 아들 산화물에 확산되어 들어오기 때문이다. Ti^{+3} 이온의 소멸 속도는 산소가 산화물로 확산되는 속도에 의존한다. 즉 산소의 확산 속도는 TiO_2 의 산소 공위의 수에 의존하기 때문에 Ti^{+3} 이온의 Ti^{+3} 이온으로의 변환은 첨가체가 첨가되지 않은 TiO_2 에 있어서는 화학량론

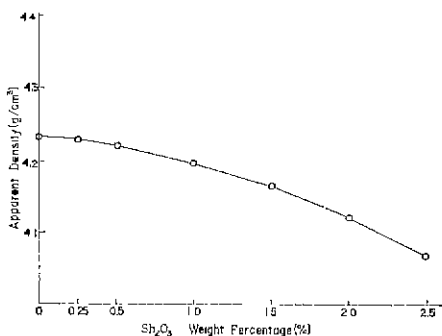


Fig. 1 Sintered Density as a Function of Dopant Concentration in Rutile (TiO_2)

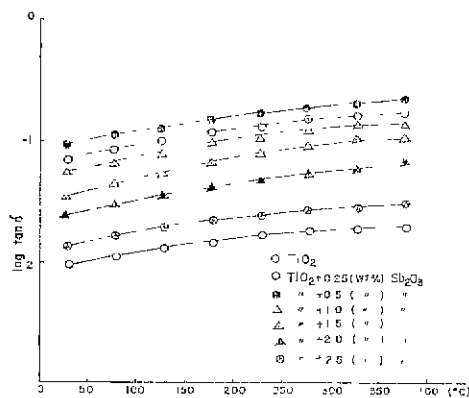


Fig. 2 Dielectric Constant versus Temperature of Sb_2O_3 doped TiO_2 at 50 KHz

(stoichiometry)에 가까울수록 증가율이 감소한다. TiO_2 에 0.25 및 0.5wt %의 Sb_2O_3 를 첨가한 시편은 소결 후 색이 점점 변하였다. 이와같은 색의 변화는 Ti/C 의 비율과 관련이 있다고 하겠다¹¹. 일반적으로 TiO_2 를 고온 및 환원 분위기하에서 가열하면 $TiO_2 \rightleftharpoons TiO_{2-x} + \frac{x}{2} O_2$ 의 반응으로 표시 할 수 있는데 이때 TiO_2 는 산소가 결핍된 산화물이 되며 TiO_2 내부의 결합 반응식은 $O_0 \rightleftharpoons \frac{1}{2} O_2 + V_0 + 2e$ 으로 표시할 수 있다¹². 한편 TiO_2 에 Sb_2O_3 를 첨가할때의 결합 반응식은 $Sb_2O_3 \rightleftharpoons 2Sb_{ln} + V_0 + 3O_0$ 으로 표시할 수 있다. 따라서 TiO_2 를 환원 분위기하에서 가열하거나, Sb_2O_3 를 첨가할때는 TiO_2 의 내부에 산소공위(V_0)가 증가하게 된다. 산소 공위의 증가는 TiO_2 의 밀도 감소의 요인이다라고 하겠다.

그림 2와 3은 온도가 증가함에 따라 유전 상수 및

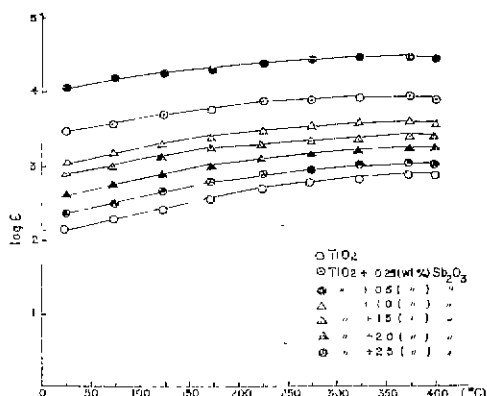


Fig. 3 Dielectric Loss Factor versus Temperature of Sb_2O_3 doped TiO_2 at 50 KHz

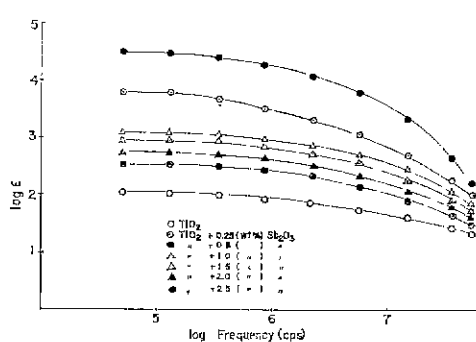


Fig. 4 Dielectric Constant as a Function of Frequency of Sb₂O₃ doped TiO₂ at 25°C

유전 실수가 증가함을 보여주고 있다. 유전성에 미치는 온도의 영향은 복잡하다. 일반적으로 온도가 증가됨에 따라 원자간의 거리가 증가되어 전자 및 이온성 편극에 영향을 준다. 특히 결합 및 불순물의 영향은 온도에 크게 의존한다. 온도가 증가됨에 따라 유전성의 증가는 전하 운반자(Charge Carrier)의 활동도 및 능도의 증가를 가져오며 또한 Ion Jumping Orientation 효과를 높여줄 수 있다. 그리고 Imperfection Mobility의 증가를 유도한다고 하겠다. 이러한 결과는 이미 발표된 몇몇 연구자들의 논문^{8~10)}과 잘 일치된다.

그림 4와 5에서 보는 바와 같이 주파수의 증가에 따라 유전 상수 및 유전 실수는 감소하였다. Debye식¹¹⁾에 의하여 주파수가 증가하면 유전성은 감소한다. 특히 불순물의 첨가자는 주파수의 증가로 polarization이 감소하여 유전성이 감소하였다.

본 실험의 결과로 부터 특이한 점은 그림 3에서 5까지에서 보는 바와 같이 첨가제인 Sb₂O₃의 량이 0.5 wt. %를 전후하여 Sb₂O₃ 량을 0.5wt. %까지 첨가함에 따라 유전 상수 및 유전 실수는 증가하였으나 0.5wt. % 이상의 Sb₂O₃를 첨가하였을 때는 Sb₂O₃의 량이 증가됨

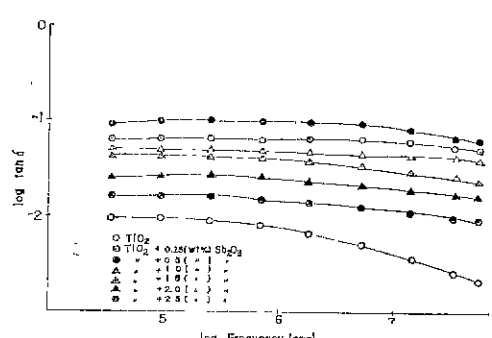


Fig. 5 Dielectric Loss Factor as a Function of Frequency of Sb₂O₃ doped TiO₂ at 25°C

에 따라 감소하였다. 일반적으로 주파수의 변화에 따른 시편의 유전 상수 변화를 보면 그 시편의 polarization mechanism이 어떠한 것인가를 알 수 있다. space charge에 의한 polarization의 기여도는 시편의 불순물이나 결정의 결합에 크게 영향을 받는다. 특히 이러한 경향은 낮은 주파수 영역에서 크게 나타난다^{9~10)}. 첨가제인 Sb₂O₃의 wt. %가 0.5까지 증가됨에 따라 앞서 설명한 산소 공위의 증가로 인한 space charge polarization의 기여도로 유전 상수의 증가를 보여주었다. 그러나 Sb₂O₃의 량이 어떤 량 (0.5wt. %)을 초과하여 첨가됨에 따라 산소 공위의 증가는 grain growth를 촉진시켰다. 이러한 결과는 BaTiO₃에 Rb나 Cs를 첨가한 Mountvala의 실험 결과²¹⁾와 BaTiO₃에 La₂O₃를 첨가한 Mac Chesnecy 등의 연구 결과¹³⁾와 잘 일치하고 있다. 그림 6은 Sb₂O₃의 첨가량이 0~2.5wt. %까지 첨가됨에 따라 결정의 크기가 증가되는 경향을 보여준다. 첨가제의 량이 0.5wt. %까지는 결정의 성장이 크게 나타나지 않으나 그 이상의 Sb₂O₃를 첨가 할 때는 결정의 성장이 크게 나타났다. 이와 같은 결과는 앞에서 설명한 바와 같이 Sb₂O₃의 량이 0.5wt. %까지 증가됨에 따라 산소 공위의 증가로 인한 space charge polarization에 의하여 유전 상수의 값이 증가를 보였으며 Sb₂O₃를 0.5wt. % 이상 첨가됨에 따라 유전 상수는 감소하는 경향을 보인 것은 산소 공위의 증가로 인한 space charge 효과보다는 산소 공위의 증가로 인한 결정의 크기의 증가됨에 따른 영향으로 보는 것이 타당하겠다. 이러한 결과는 이미 발표된 Mountvala¹²⁾의 결과와 잘 일치한다.

IV. 결 론

1. Sb₂O₃의 첨가량이 증가됨에 따라 산소 공위의 증가로 인하여 밀도의 감소 현상을 나타냈다.

2. 첨가제 Sb₂O₃의 량이 0.5wt. %를 면적으로하여 0.5wt. %까지 증가됨에 따라 산소 공위에 의한 space charge polarization의 증가로 유전 상수는 증가하였으며 0.5wt. % 이상 첨가자는 결정의 크기의 증가로 인하여 유전 상수는 오히려 감소하였다.

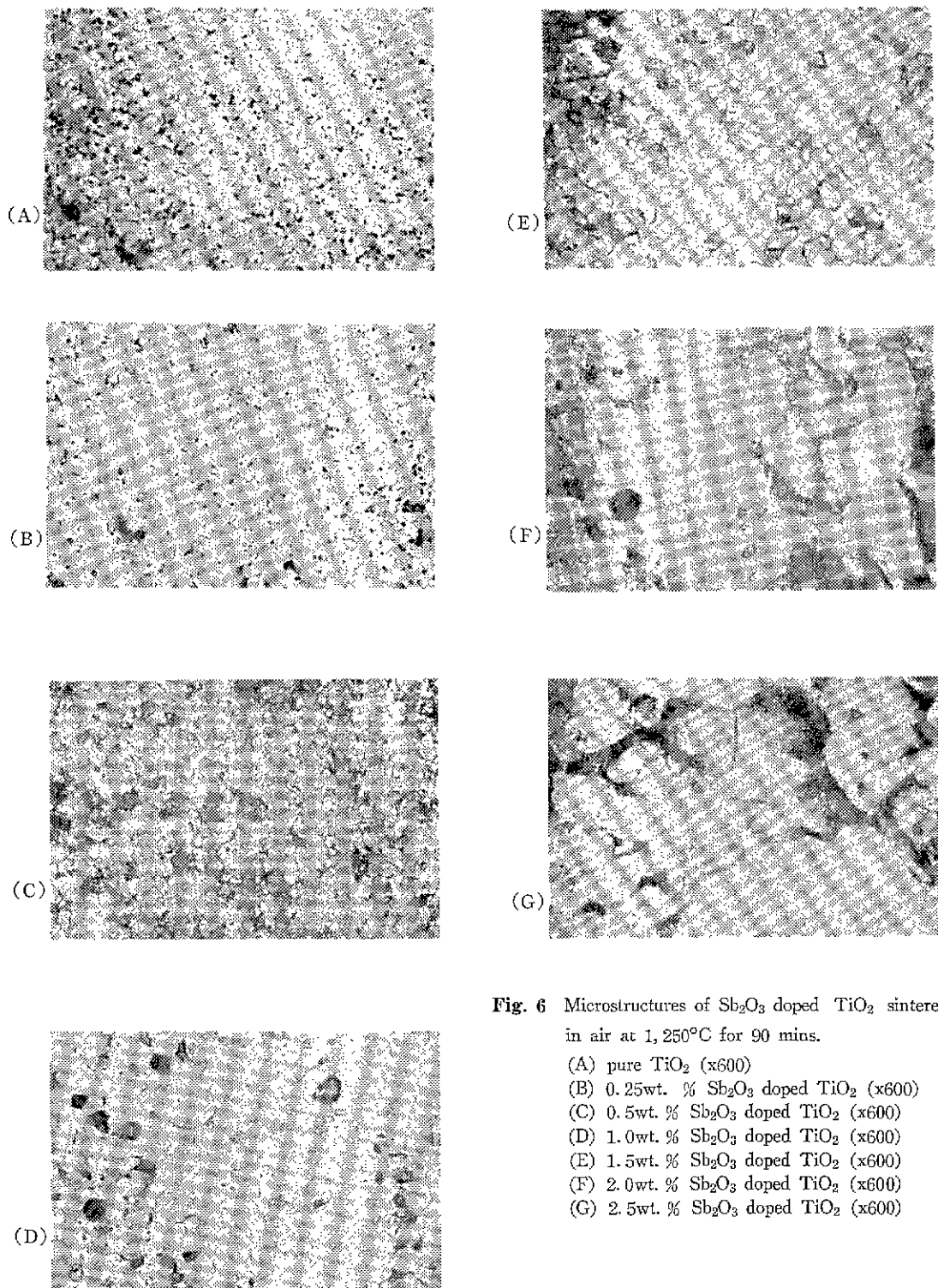


Fig. 6 Microstructures of Sb_2O_3 doped TiO_2 sintered in air at $1,250^\circ\text{C}$ for 90 mins.
(A) pure TiO_2 (x600)
(B) 0.25wt. % Sb_2O_3 doped TiO_2 (x600)
(C) 0.5wt. % Sb_2O_3 doped TiO_2 (x600)
(D) 1.0wt. % Sb_2O_3 doped TiO_2 (x600)
(E) 1.5wt. % Sb_2O_3 doped TiO_2 (x600)
(F) 2.0wt. % Sb_2O_3 doped TiO_2 (x600)
(G) 2.5wt. % Sb_2O_3 doped TiO_2 (x600)

References

1. H. Büttner and J. Engl., "The Dielectric Constant of Titanium Dioxide at Low Temperature", *Z. Tech. Phys.*, **18**, 113 (1937)
2. L.J. Berberich and M.E. Bell, "Dielectric properties of the Rutile Form of Titanium Oxide", *J. Appl. Phys.*, **11**, 631 (1940)
3. A. Von Hippel, R.G. Beckenridge, F.G. Chesley and L. Tisza, "High Dielectric Constant Ceramics", *Ind. Chem.*, **38**, 1097 (1946)
4. L. Egerton and J. Thomsoon, "Preparation of High Density Ceramic TiO₂ Having Low Dielectric Loss at Microwave Frequencies", *Ceram. Bull.*, **50**, 924 (1971)
5. J. Takahashi, I. Yamai and H. Saito, "Effect of Additives on the Sintering and the Electrical Conductivity of TiO₂", *Yogyo-Kyokaishi*, **83**, 589 (1975)
6. S. Aerfoss, R.G. Stokes and C.H. Moore, "Notes on the properties of Synthetic Rutile Single Crystals", *J. Chem. Phys.*, **16**, 1166 (1948)
7. P. Kofstad, "Note on the Defect Structure of Rutile (TiO₂)", *J. Less-Common Metals*, **13**, 635 (1967)
8. R.V. Rao and A. Smakula, "Dielectric Properties of Cobalt Oxide, Nickel Oxide, and Their Mixed Crystals", *J. Appl. Phys.*, **36**, 2031 (1965)
9. S. Govinda and K.V. Rao, "Dielectric properties of Single Crystals of Al₂O₃ and Al₂O₃ doped with Chromium or Vanadium", *Phys. Stat. Sol.(a)*, **27**, 639 (1975)
10. J.P. Bonsack, "Dielectric properties of Barium Titanate Containing Niobium and the Effect of Additives", *Ceram. Bull.*, **50**, 488 (1971)
11. P. Debye, "Polar Molecules" (Chemical Catalog Co., New York, 1929)
12. A.J. Mountvala, "Electrical properties of Rubidium- and Cesium-Doped Barium Titanate Ceramics", *J. Am. Ceram. Soc.*, **53**, 53 (1970)
13. J.B. MacChesney, P.K. Gallagher and F.V. DiMarcello, "Stabilized Barium Titanate Ceramics for Capacitor Dielectrics", *J. Am. Ceram. Soc.*, **46**, 197 (1963)